

Journal of Electrochemistry

Volume 21

Issue 1 Special Issue of Bioelectroanalytical
Chemistry (Editor: Professor XIA Xing-hua)

2015-02-28

Nanosized Fe₂O₃ on Three Dimensional Hierarchical Porous Graphene-Like Matrices as High-Performance Anode Material for Lithium Ion Batteries

Qin-wei ZHANG

Yun-yong LI

Pei-kang SHEN

*State Key Laboratory of Optoelectronic Materials and Technologies, School of Physics and Engineering,
Sun Yat-sen University, Guangzhou 510275, China;* stsspk@mail.sysu.edu.cn

Recommended Citation

Qin-wei ZHANG, Yun-yong LI, Pei-kang SHEN. Nanosized Fe₂O₃ on Three Dimensional Hierarchical Porous Graphene-Like Matrices as High-Performance Anode Material for Lithium Ion Batteries[J]. *Journal of Electrochemistry*, 2015 , 21(1): 66-71.

DOI: 10.13208/j.electrochem.140913

Available at: <https://jelectrochem.xmu.edu.cn/journal/vol21/iss1/10>

DOI: 10.13208/j.electrochem.140913

Cite this: *J. Electrochem.* 2015, 21(1): 66-71

Artical ID:1006-3471(2015)01-0066-06
[Http://electrochem.xmu.edu.cn](http://electrochem.xmu.edu.cn)

三维多级孔类石墨烯载三氧化二铁 锂离子电池负极材料

张勤伟, 李运勇, 沈培康*

(中山大学 光电材料与技术国家重点实验室, 物理科学与工程技术学院, 广东 广州 510275)

摘要:采用简单的水解、热处理方法合成三氧化二铁(Fe_2O_3)负载在三维多级孔类石墨烯(3D HPG)上的复合材料。3D HPG 有效的导电网络有利于负载纳米 Fe_2O_3 ,使其呈均匀分散状态,并有效增强纳米复合物的导电率,提高 Fe_2O_3 利用率,抑制纳米 Fe_2O_3 的团聚,从而制得稳定、高性能的锂离子电池负极材料。 Fe_2O_3 -3D HPG 电极在 $50 \text{ mA} \cdot \text{g}^{-1}$ 电流密度下首次放电容量达 $1745 \text{ mAh} \cdot \text{g}^{-1}$,50 周期放电容量保持于 $1095 \text{ mAh} \cdot \text{g}^{-1}$ 。

关键词: Fe_2O_3 ; 负极材料; 锂离子电池; 三维多级孔类石墨烯材料; 电化学

中图分类号: O646; TM912.9

文献标识码: A

未来的高端通讯、便携设备和电动汽车对高功率密度、高能量密度和良好循环稳定性的锂离子电池(LIBs)有很大的需求^[1-2]。商用的锂离子电池负极材料石墨的理论容量只有 $372 \text{ mAh} \cdot \text{g}^{-1}$ ^[3],不能满足新一代锂离子电池的需要,急需开发新型的电极材料^[4-5]。各种过渡金属氧化物,如 Fe_2O_3 ^[6-7]、 Fe_3O_4 ^[8-9]、 MnO_2 ^[10-11]、 Co_3O_4 ^[12-13] 和 TiO_2 ^[14-15] 等,具有理论容量高、资源丰富等优势,在锂离子电池负极材料方面,已有广泛深入的研究^[16-17]。其中, Fe_2O_3 理论容量高($1007 \text{ mAh} \cdot \text{g}^{-1}$)、成本低已备受关注^[2, 16]。但 Fe_2O_3 自身导电性差、体积膨胀大,充放电过程中容量衰减快,在实际应用中受到限制^[18]。

为克服以上问题,人们研究了 Fe_2O_3 的各种微观结构如纳米管^[19]、空心结构^[6]、纳米片^[20]、纳米线^[21]等,以及 Fe_2O_3 的各种复合物如碳 $\text{Fe}_2\text{O}_3/\text{CNT}$ ^[18]、 $\text{Fe}_2\text{O}_3/\text{C}$ 的核壳结构^[22-23]、 $\text{Fe}_2\text{O}_3/\text{Graphene}$ ^[27] 等。Sun 等^[18]报道的 $\text{Fe}_2\text{O}_3/\text{CNT}$ 电极,在 $50 \text{ mA} \cdot \text{g}^{-1}$ 放电倍率下,80 周期循环 $\text{Fe}_2\text{O}_3/\text{CNT}$ 的容量仍保持在 $619 \text{ mAh} \cdot \text{g}^{-1}$ 。Brandt 等^[22]制备的碳包覆 $\alpha\text{-Fe}_2\text{O}_3$,在 $0.13 \text{ A} \cdot \text{g}^{-1}$ 的放电倍率下,50 循环周期稳定容量为 $800 \text{ mAh} \cdot \text{g}^{-1}$,其容量保持率达 99%。Zhao 等^[7]制备了纳米 $\text{Fe}_2\text{O}_3/\text{Graphene}$ 复合物, 0.1C (约 $100 \text{ mA} \cdot \text{g}^{-1}$)首周期放电容量高达 $1734.6 \text{ mAh} \cdot \text{g}^{-1}$,50 周期循环容

量保持于 $602.2 \text{ mAh} \cdot \text{g}^{-1}$ 。

三维多级孔类石墨烯(3D HPG)作为一种有效的导电网络状材料,已被应用于超级电容器中。在水系中放电电流密度为 $0.5 \text{ A} \cdot \text{g}^{-1}$ 时,其比容量高达 $305 \text{ F} \cdot \text{g}^{-1}$;当放电电流密度为 $100 \text{ A} \cdot \text{g}^{-1}$ 时,其比容量仍达到 $228 \text{ F} \cdot \text{g}^{-1}$,容量保持率约 75%^[24]。3D HPG 的高比容量、高倍率、高稳定性等特点主要归因于 3D HPG 兼具高导电率、高比表面积和分层次多级孔结构。作者课题组首次将纳米 Fe_2O_3 均匀负载于 3D HPG 上,提高了 Fe_2O_3 作为锂电池负极材料的比容量和稳定性。

1 实验

1.1 材料的制备

三维多级孔类石墨烯(3D HPG): 将 10 g 经预处理的大孔弱酸性丙烯酸阳离子交换树脂加入 100 mL 乙酸镍($0.05 \text{ mol} \cdot \text{L}^{-1}$)水溶液中,磁力搅拌 6 h ,用去离子水清洗离子交换树脂,过滤、烘干。将 10 g 已交换镍离子的树脂加入 400 mL KOH(40 g)乙醇溶液, 80°C 搅拌至浆糊状,室温静置 6 h , 70°C 真空烘干、粉碎。将粉碎产物置于管式炉中, $60 \text{ mL} \cdot \text{min}^{-1}$ 氮气流量保护,以 $2 \text{ }^\circ\text{C} \cdot \text{min}^{-1}$ 升温速率从室温升至 850°C ,并保温 2 h 。上述产物用 $3 \text{ mol} \cdot \text{L}^{-1}$ 的盐酸处理,去离子水清洗至滤液呈中性,过滤产

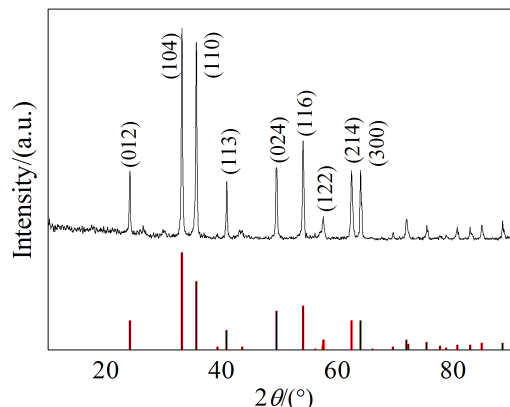


图 1 Fe_2O_3 -3D HPG 的 XRD 衍射谱图(为便于比较图中给出了 $\alpha\text{-Fe}_2\text{O}_3$ 标准谱)

Fig. 1 XRD pattern of Fe_2O_3 -3D HPG (the standard line of $\alpha\text{-Fe}_2\text{O}_3$ is given for comparison)

物 80 °C 下烘干 12 h.

Fe_2O_3 -3D HPG: 将 200 mg 3D HPG 分散于 100 mL 去离子水中, 超声 30 min. 另将 10 g 尿素溶解于 50 mL 水中, 缓慢加入 3D HPG 溶液中, 超声 10 min; 1.35 g $\text{FeCl}_3 \cdot 6\text{H}_2\text{O}$ 溶解于 50 mL 水, 也缓慢加

入 3D HPG 溶液, 超声 30 min. 将该混合液于 90 °C 下搅拌 2 h, 过滤, 去离子水反复清洗, 并于 80 °C 干燥 12 h, 最后在管式炉氮气气氛中 250 °C 保温 2 h.

1.2 形貌和结构分析

使用 D-MAX 2200 VPC X 射线衍射仪(日本 RIGAKU) 测试样品 XRD 图谱, Cu K_{α} 靶, $\lambda = 0.154056 \text{ nm}$, 扫速为 $10^\circ \cdot \text{min}^{-1}$; 使用 JEM-6700F 冷场发射扫描电镜(SEM, 日本电子) 和 JEM-2010HR 200 kV 高分辨透射电镜(TEM, 日本电子) 观察样品形貌; 使用 ESCALab250 型 X-射线光电子能谱仪进行样品元素分析; 使用 NETZSCHSTA 409 PC 型热重分析仪(TGA) 空气气氛测定三氧化二铁的含量.

1.3 电化学性能测试

按质量比 9:1 将活性材料、粘结剂 PVDF(电池级) 分散于 NMP 中调成浆料, 均匀地涂在铜箔上, 120 °C 真空干燥 10 h 得工作电极. 金属锂片为对电极, 1 mol · L⁻¹ LiPF_6 /EC+DMC+EMC(体积比 1:1:1) 为电解液, Celgard2300 作隔膜, 在氩气气氛的手套箱中组装成 CR2032 型扣式电池. 使用

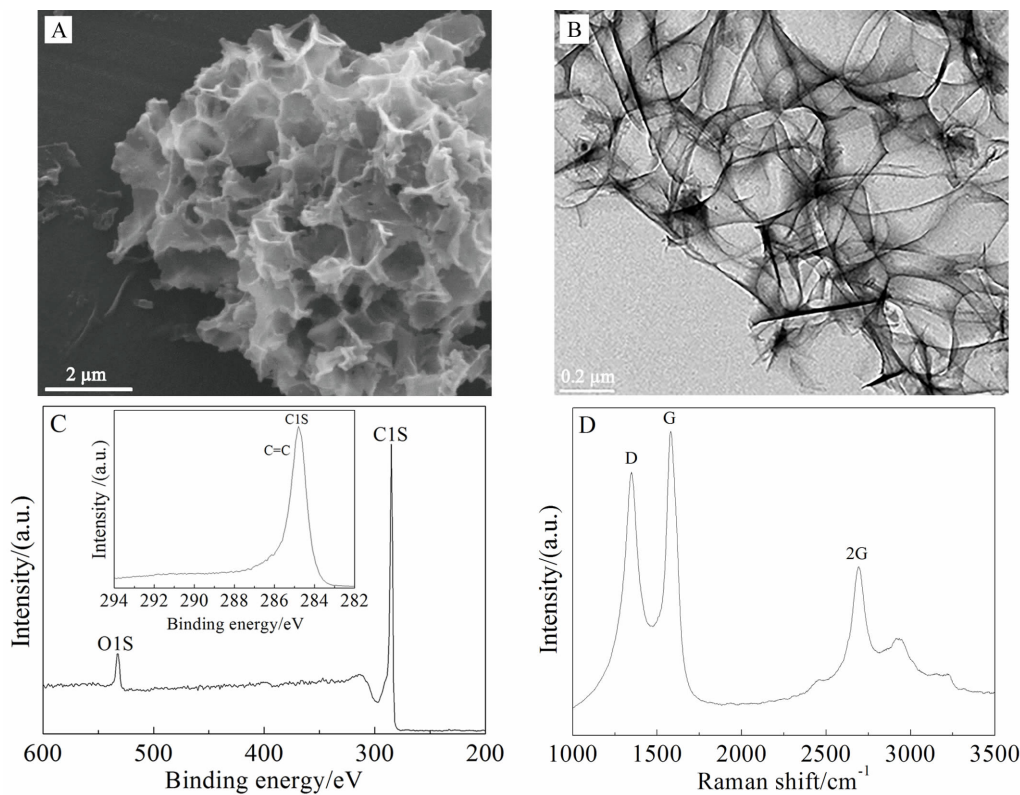


图 2 Fe_2O_3 -3D HPG 的 SEM 照片(A)、TEM 照片(B)、XPS(插图 C1s)谱图(C)和拉曼光谱图(D)

Fig. 2 SEM image (A) and TEM image (B), XPS (inset C1s) spectra (C) and Raman spectrum (D) of the Fe_2O_3 -3D HPG

Bio-logic VMP3 电化学工作站(France)测试两电极体系循环伏安曲线,新威尔二次电池充放电测试仪(深圳)测试电池充放电曲线。

2 结果与讨论

图 1 是 Fe_2O_3 -3D HPG 和标准的 $\alpha\text{-Fe}_2\text{O}_3$ XRD 谱图。由图知, Fe_2O_3 -3D HPG 的特征峰均与 $\alpha\text{-Fe}_2\text{O}_3$ 标准谱(JCPDS NO. 33-0664)的特征峰一致, 说明负载于 3D HPG 的物质主要是 $\alpha\text{-Fe}_2\text{O}_3$, 谱图中石墨的特征峰(26.2°)不是很明显, 可能是由于纳米 Fe_2O_3 颗粒的特征峰太强^[2], 大部分 3D HPG 被纳米

Fe_2O_3 颗粒分离^[25]。

图 2 是 3D HPG 的 SEM 和 TEM 照片。从 SEM 照片(A)可知, 3D HPG 呈现独特相通的大孔网络状, 其 TEM 照片(B)进一步证实呈连通多孔网络状。从 XPS 图谱(C)可知, 3D HPG 具有较高的 C/O 含量比, 其中 284.6 eV 和 $286 \sim 290\text{ eV}$ 间所在的峰分别为 $\text{C}=\text{C}$ 峰和 $\text{C}-\text{O}$ 峰。从 3D HPG 的拉曼光谱图(D)可知, 3D HPG 具有商业石墨烯相同位置的 D 峰(1350 cm^{-1})、G 峰(1580 cm^{-1})和 2D 峰(2700 cm^{-1})^[24]特征峰, 说明 3D HPG 具有类

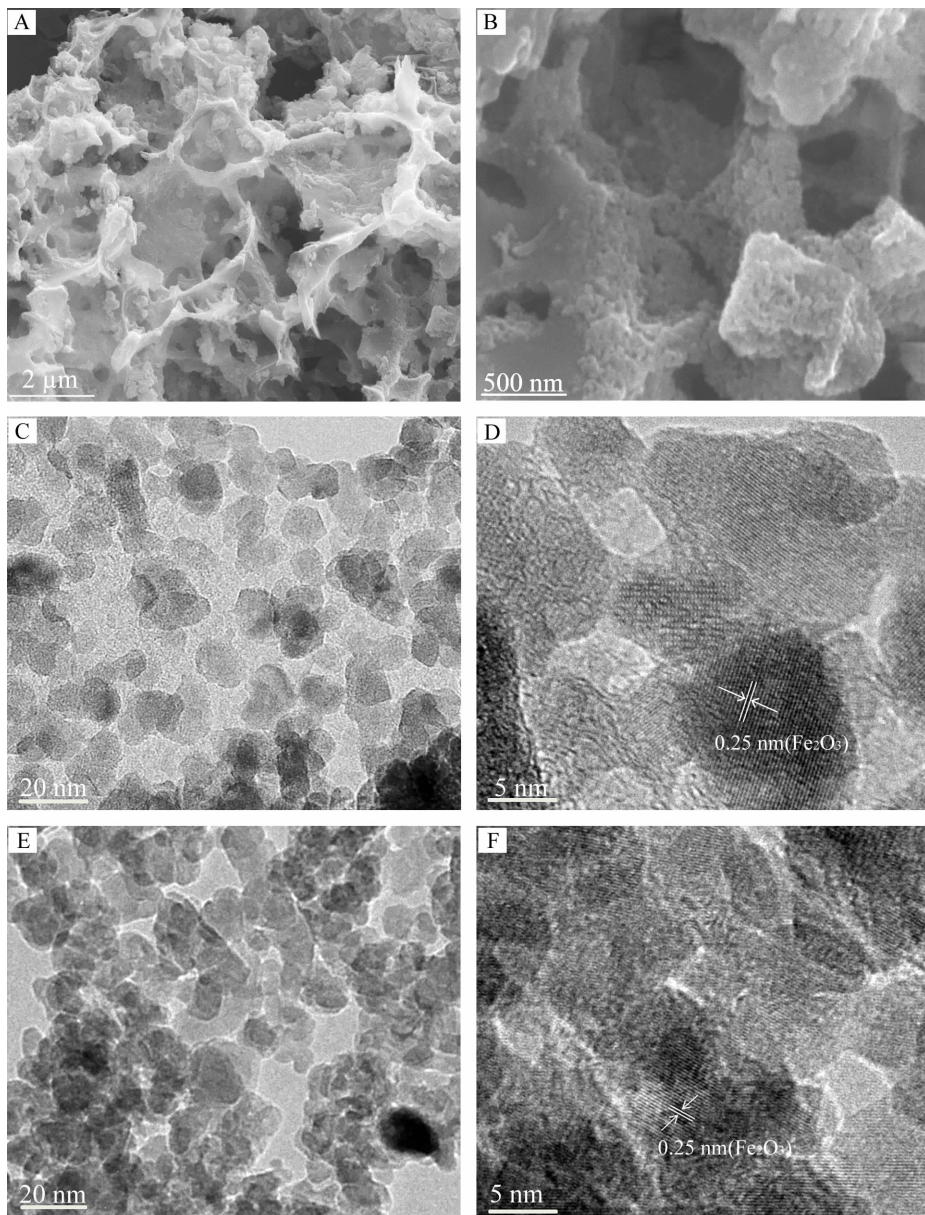


图 3 Fe_2O_3 -3D HPG 的 SEM(A、B 不同倍率)照片和 TEM(C、D)照片、纯 Fe_2O_3 的 TEM(E、F 不同倍率)照片
Fig. 3 SEM images (A, B) and TEM images (C, D) of the Fe_2O_3 -3D HPG, and TEM images (E, F) of the pure Fe_2O_3

石墨烯结构。

图3是 Fe_2O_3 -3D HPG的SEM和TEM照片。从图3A可知,与未负载 Fe_2O_3 的3D HPG的结构一样, Fe_2O_3 -3D HPG呈现独特相通的三维大孔网络状^[24],其中的大孔和介孔更有利于 Li^+ 嵌入迁出加快电解液的流动。图3B是高倍率放大的SEM

照片,可观察到 Fe_2O_3 均匀地负载在3D HPG的孔壁上,提高了纳米 Fe_2O_3 的利用率。图3C是 Fe_2O_3 -3D HPG的TEM照片,可以进一步清晰地观察到 Fe_2O_3 均匀地分散于3D HPG大孔壁上。图3D是高分辨TEM照片,0.25 nm的晶面间距清晰可见,与 $\alpha\text{-Fe}_2\text{O}_3$ 的(110)的晶面间距一致(图3F)。图3F

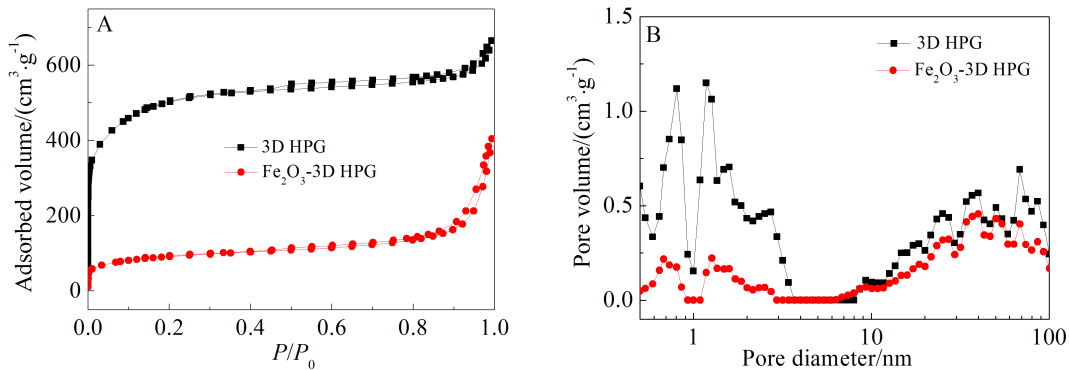


图4 3D HPG 和 Fe_2O_3 -3D HPG 的等温吸脱附曲线(A)和DFT 孔径分布(B)

Fig. 4 Nitrogen adsorption/desorption isotherms and (A) DFT pore-size distribution curves (B) of the 3D HPG and Fe_2O_3 -3D HPG

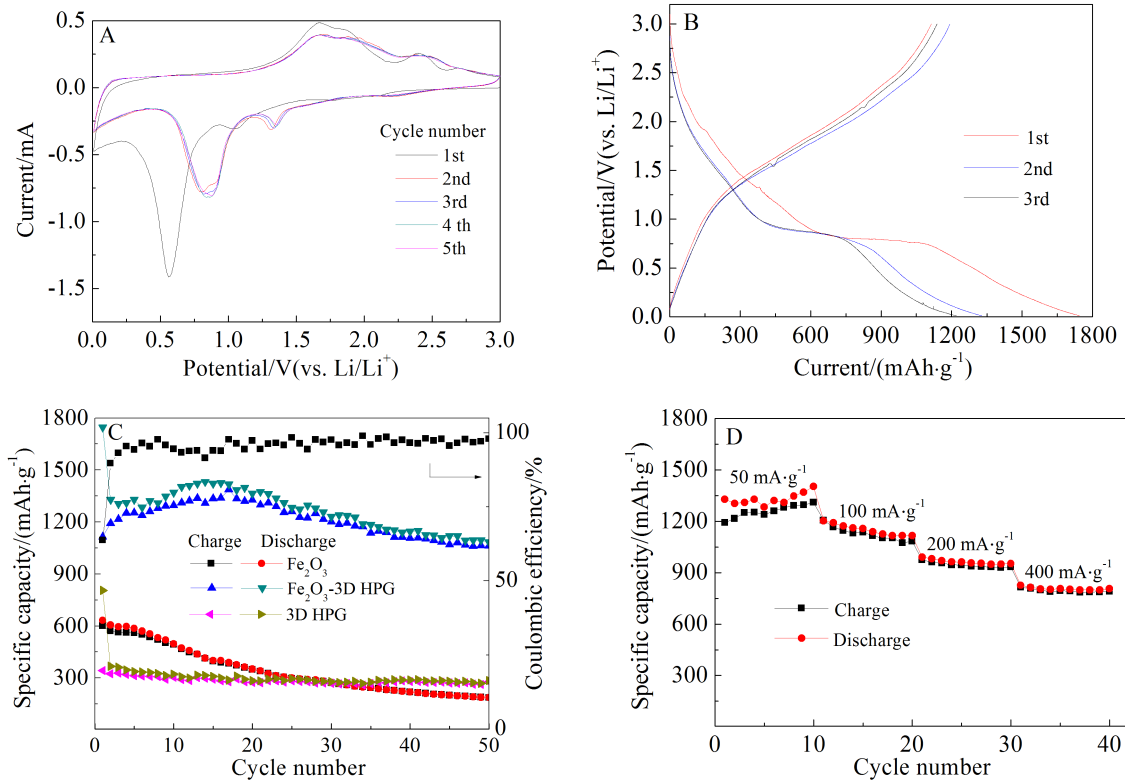


图5 A. Fe_2O_3 -3D HPG 电极循环伏安曲线, 扫速 $0.1 \text{ mV}\cdot\text{s}^{-1}$; B. 恒流充放电曲线, 电流密度 $50 \text{ mA}\cdot\text{g}^{-1}$, 电压范围 $0.01 \sim 3 \text{ V}$; C. $50 \text{ mA}\cdot\text{g}^{-1}$ 电流密度寿命曲线; D. Fe_2O_3 -3D HPG 不同倍率性能曲线

Fig. 5 Electrochemical performance of Fe_2O_3 -3D HPG electrode

A. typical CV curves at a scan rate of $0.1 \text{ mV}\cdot\text{s}^{-1}$; B. the galvanostatic profiles between 0.01 V and 3 V at a current density of $50 \text{ mA}\cdot\text{g}^{-1}$; C. the cycling performance at a current density of $50 \text{ mA}\cdot\text{g}^{-1}$; D. C-rate performance curves

是纯 Fe_2O_3 的 TEM 照片, Fe_2O_3 容易团聚, 其中 Fe_2O_3 颗粒粒径大约在 20~40 nm(图 3E)。

图 4 是 3D HPG 负载 Fe_2O_3 前后氮气等温吸脱附曲线(A)和孔结构的变化图(B). 从图 4B 可知, Fe_2O_3 -3D HPG 和 3D HPG 呈多级孔结构, 但 Fe_2O_3 -3D HPG 的孔被堵掉一些, 因为氧化铁载入后堵住一些小孔, 使得原先的一些小孔在图上未能体现出来. 经 TGA 测定 Fe_2O_3 -3D HPG 中 Fe_2O_3 的含量为 64.3%.

图 5A 是 Fe_2O_3 -3D HPG 电极的 $0.1 \text{ mV} \cdot \text{s}^{-1}$ 的循环伏安曲线. 首周期循环, 在 0.57 V 和 1.1 V 处有明显的还原峰, 循环后还原峰位正移至 0.8 V 和 1.33 V, 表明首周期循环涉及不可逆反应如电解液的分解以及 SEI 膜的形成. 活化后, 第二周期循环的电极脱嵌锂反应更可逆, 0.8 V 处还原峰对应于 Fe^{3+} 还原为 Fe^0 , 1.33 V 处少量 Fe^{3+} 还原为 Fe^{2+} ^[21,26]. 正扫过程可观察到 2 个氧化峰, 相对于 Fe^0 和 Fe^{2+} 的可逆氧化. 图 5B 是 Fe_2O_3 -3D HPG 电极在 $50 \text{ mA} \cdot \text{g}^{-1}$ 电流密度的充放电曲线, 首周期放电容量达 $1745 \text{ mAh} \cdot \text{g}^{-1}$, 第二周期放电容量为 $1329 \text{ mAh} \cdot \text{g}^{-1}$, 其中第二、三周期的放电平台重合并趋于稳定(0.8 V 左右), 这与循环伏安曲线 0.8 V 处还原峰一致. 图 5C 给出 $50 \text{ mA} \cdot \text{g}^{-1}$ 电流密度下 Fe_2O_3 -3D HPG、纯 Fe_2O_3 、3D HPG 电极的寿命曲线. 从图可知, 纯 Fe_2O_3 电极随周期循环数增多, 其容量下降明显, 50 周期其容量降至 $190 \text{ mAh} \cdot \text{g}^{-1}$, 该电极如此快速的容量衰减主要归因于循环过程中 Fe_2O_3 发生团聚和坍塌^[18]. 3D HPG 电极呈现出稳定的循环性能, 50 周期循环其容量仍保持于 $320 \text{ mAh} \cdot \text{g}^{-1}$. 而 Fe_2O_3 -3D HPG 电极, 50 周期循环其放电容量为 $1095 \text{ mAh} \cdot \text{g}^{-1}$, 为第二周期循环的 82.4%, 库伦效率高达 95% 以上. 作者认为, 纳米化后的 Fe_2O_3 -3D HPG 容量高于其理论容量是因为 Fe_2O_3 -3D HPG 中的 Fe_2O_3 颗粒较小, 造成 Fe_2O_3 的自转化性能, 即放电形成的 Li_2O 可以在充电时可逆地转化为 Fe_2O_3 , 使形成的 SEI 膜减少, 整体锂离子嵌入/脱出的量增大^[27-29]. 图 5D 为 Fe_2O_3 -3D HPG 电极不同倍率曲线, 电流密度的增加, 其充放电容量均有所下降. 充放电电流达 $400 \text{ mA} \cdot \text{g}^{-1}$ 时, 10 周期循环后, 其放电容量仍有 $800 \text{ mAh} \cdot \text{g}^{-1}$, 当充放电电流回到 $50 \text{ mA} \cdot \text{g}^{-1}$, 其放电容量恢复到 $984 \text{ mAh} \cdot \text{g}^{-1}$.

3 结 论

利用 $\text{FeCl}_3 \cdot 6\text{H}_2\text{O}$ 水解与热处理制备的 Fe_2O_3

并将其均匀沉积于 3D HPG 上构筑复合材料, 3D HPG 三维多级孔结构使 Fe_2O_3 均匀分布并提供稳定的构架以缓冲充放电过程 Fe_2O_3 的体积膨胀, 更利于 Li^+ 的嵌入迁出, 增强复合物的导电性, 抑制 Fe_2O_3 的团聚, 从而提高 Fe_2O_3 锂离子电池负极的容量和稳定性. Fe_2O_3 -3D HPG 电极首次放电容量达 $1745 \text{ mAh} \cdot \text{g}^{-1}$, 50 周期循环容量仍保持 $1095 \text{ mAh} \cdot \text{g}^{-1}$.

参考文献(References):

- [1] Tarascon J M, Armand M. Issues and challenges facing rechargeable lithium batteries[J]. Nature, 2001, 414(6861): 359-367.
- [2] Zhu X, Zhu Y, Murali S, et al. Nanostructured reduced graphene oxide/ Fe_2O_3 composite as a high-performance anode material for lithium ion batteries[J]. ACS Nano, 2011, 5(4): 3333-3338.
- [3] Buqa H, Goers D, Holzapfel M, et al. High rate capability of graphite negative electrodes for lithium-ion batteries[J]. Journal of The Electrochemical Society, 2005, 152 (2): A474-A481.
- [4] Aricò A S, Bruce P, Scrosati B, et al. Nanostructured materials for advanced energy conversion and storage devices [J]. Nature materials, 2005, 4(5): 366-377.
- [5] Jang B, Park M, Chae O B, et al. Direct synthesis of self-assembled ferrite/carbon hybrid nanosheets for high performance lithium-ion battery anodes[J]. Journal of the American Chemical Society, 2012, 134(36): 15010-15015.
- [6] Kwon K A, Lim H S, Sun Y K, et al. α - Fe_2O_3 submicron spheres with hollow and macroporous structures as high-performance anode materials for lithium ion batteries[J]. The Journal of Physical Chemistry C, 2014, 118(6): 2897-2907.
- [7] Zhao B, Liu R, Cai X, et al. Nanorod-like Fe_2O_3 /graphene composite as a high-performance anode material for lithium ion batteries[J]. Journal of Applied Electrochemistry 2014, 44(1): 53-60.
- [8] Luo J, Liu J, Zeng Z, et al. Three-dimensional graphene foam supported Fe_3O_4 lithium battery anodes with long cycle life and high rate capability[J]. Nano letters, 2013, 13(12): 6136-6143.
- [9] He C, Wu S, Zhao N, et al. Carbon-encapsulated Fe_3O_4 nanoparticles as a high-rate lithium ion battery anode material[J]. ACS Nano, 2013, 7(5): 4459-4469.
- [10] Y Li, Q Zhang, Zhu J, et al. An extremely stable MnO_2 anode incorporated with 3D porous graphene-like networks for lithium-ion batteries[J]. Journal of Materials Chemistry A, 2014, 2(9): 3163-3168.
- [11] C X Guo, M Wang, Chen T, et al. A hierarchically nanostructured composite of MnO_2 /conjugated polymer/graphene for high-performance lithium ion batteries[J]. Advan-

- ced Energy Materials, 2011, 1(5): 736-741.
- [12] Wu Z S, Ren W, Wen L, et al. Graphene anchored with Co_3O_4 nanoparticles as anode of lithium ion batteries with enhanced reversible capacity and cyclic performance[J]. ACS Nano, 2010, 4(6): 3187-3194.
- [13] Tao L, Zai J, Wang, K, et al. Co_3O_4 nanorods/graphene nanosheets nanocomposites for lithium ion batteries with improved reversible capacity and cycle stability[J]. Journal of Power Sources, 2012, 202: 230-235.
- [14] Wang Y, Xu M, Peng Z, et al. Direct growth of mesoporous Sn-doped TiO_2 thin films on conducting substrates for lithium-ion battery anodes[J]. Journal of Materials Chemistry A, 2013, 1(42): 13222-13226.
- [15] Ren Y, Liu Z, Pourpoint F, et al. Nanoparticulate TiO_2 (B): An anode for lithium-ion batteries[J]. Angewandte Chemie International Edition, 2012, 124(9): 2206-2209.
- [16] Wu H B, Chen J S, Hng H H, et al. Nanostructured metal oxide-based materials as advanced anodes for lithium-ion batteries[J]. Nanoscale, 2012, 4(8): 2526-2542.
- [17] Reddy M V, Subba R G V, Chowdari B V R, et al. Metal oxides and oxysalts as anode materials for Li ion batteries [J]. Chemical Reviews, 2013, 113(7): 5364-5457.
- [18] Sun Y, Zhang J, Huang T, et al. $\text{Fe}_2\text{O}_3/\text{CNTs}$ composites as anode materials for lithium-ion batteries[J]. International Journal of Electrochemical Science, 2013, 8(2): 2918-2931.
- [19] Chen J, Xu L, Li W, et al. $\alpha\text{-Fe}_2\text{O}_3$ nanotubes in gas sensor and lithium-ion battery applications[J]. Advanced Materials, 2005, 17(5): 582-586.
- [20] Reddy M, Yu T, Sow C H, et al. $\alpha\text{-Fe}_2\text{O}_3$ nanoflakes as an anode material for Li-ion batteries[J]. Advanced Functional Materials, 2007, 17(15): 2792-2799.
- [21] Wu H, Xu M, Wang Y, et al. Branched $\text{Co}_3\text{O}_4/\text{Fe}_2\text{O}_3$ nanowires as high capacity lithium-ion battery anodes [J]. Nano Research, 2013, 6(3): 167-173.
- [22] Brandt A, Balducci A. Ferrocene as precursor for carbon-coated $\alpha\text{-Fe}_2\text{O}_3$ nanoparticles for rechargeable lithium batteries[J]. Journal of Power Sources, 2013, 230: 44-49.
- [23] Fei H, Peng Z, Li L, et al. Preparation of carbon-coated iron oxide nanoparticles dispersed on graphene sheets and applications as advanced anode materials for lithium-ion batteries[J]. Nano Research, 2014, 7(4): 1-9.
- [24] Li Y, Li Z, Shen P K. Simultaneous formation of ultra-high surface area and three-dimensional hierarchical porous grapheme-like networks for fast and highly stable supercapacitors[J]. Advanced Materials, 2013, 25(17): 2474-2480.
- [25] Zhang M, Qu B, Lei D, et al. A green and fast strategy for the scalable synthesis of $\text{Fe}_2\text{O}_3/\text{graphene}$ with significantly enhanced Li-ion storage properties[J]. Journal of Materials Chemistry, 2012, 22(9): 3868-3874.
- [26] Ang W A, Gupta N, Prasanth R, et al. Facile synthesis and electrochemical properties of alpha-phase ferric oxide hematite cocoons and rods as high-performance anodes for lithium-ion batteries[J]. Journal of Materials Research, 2013, 28(6): 824-831.
- [27] Su L, Zhou Z, Qin X, et al. CoCO_3 submicrocube/graphene composites with high lithium storage capability[J]. Nano Energy, 2013, 2(2): 276-282
- [28] Su L, Zhong Y, Zhen Z, et al. Role of transition metal nanoparticles in the extra lithium storage capacity of transition metal oxides: A case study of hierarchical core-shell $\text{Fe}_3\text{O}_4@\text{C}$ and $\text{Fe}@\text{C}$ microspheres[J]. Journal of Materials Chemistry A, 2013, 1(47): 15158-15166.
- [29] Yin J, Shi H, Wu P, et al. Graphene-wrapped single-crystalline Fe_3O_4 nanorods with superior lithium-storage capabilities [J]. New Journal of Chemistry, 2014, 38(9): 4036-4040.

Nanosized Fe_2O_3 on Three Dimensional Hierarchical Porous Graphene-Like Matrices as High-Performance Anode Material for Lithium Ion Batteries

ZHANG Qin-wei, LI Yun-yong, SHEN Pei-kang*

(State Key Laboratory of Optoelectronic Materials and Technologies, School of Physics and Engineering, Sun Yat-sen University, Guangzhou 510275, China)

Abstract: Ferric oxide (Fe_2O_3) as a promising anode material for lithium ion battery is due to its high theoretical capacity ($1007 \text{ mAh} \cdot \text{g}^{-1}$), earth abundance and low cost. The nanosized Fe_2O_3 on the three dimensional hierarchical porous graphene-like network (denoted as Fe_2O_3 -3D HPG) has been synthesized by homogeneous precipitation and heat treatment. The 3D HPG can provide a highly conductive structure in conjunction to support well contacted Fe_2O_3 nanoparticles, and effectively enhance the mechanical strength of the matrices during volume changes as well as improve the utilization rate of Fe_2O_3 and suppress the aggregation of Fe_2O_3 nanoparticles during Li ion insertion/extraction. As a result, the first discharge capacity of Fe_2O_3 -3D HPG was up to $1745 \text{ mAh} \cdot \text{g}^{-1}$ at $50 \text{ mA} \cdot \text{g}^{-1}$, and after 50 cycles, the retention of the capacity was $1095 \text{ mAh} \cdot \text{g}^{-1}$.

Key words: Fe_2O_3 ; anode materials; Li ion batteries; three dimensional hierarchical porous graphene-like matrix; electrochemistry